

محاسبه ضرایب شدت تنش دینامیکی در مواد ارتوتروپیک تحت بار حرارتی با روش المان محدود توسعه یافته

محمد باقر نظری^{۱*}، محمد جعفری^۲، مجتبی حاجی محمدی^۳

۱- استادیار مهندسی مکانیک، دانشگاه شهرورد، شهرورد

۲- دانشجوی کارشناسی ارشد مهندسی مکانیک، دانشگاه شهرورد، شهرورد

۳- شهرورد، صندوق پستی ۴۵۸۷۱۸۷۸۵۵۴۵، mbnazari@shahroodut.ac.ir

چکیده- در این مقاله، از روش المان محدود توسعه یافته برای محاسبه ضرایب شدت تنش در مواد ارتوتروپیک تحت شوک مکانیکی و حرارتی استفاده شده است. معادلات ترمولاستیسیته غیرکوپل در نظر گرفته شده است. شبکه المانی ناحیه حل با کاربرد المان‌های چهار گره‌ای و هشت گره‌ای ایجاد شده است. برای بدست آوردن ضرایب شدت تنش نیز انتگرال برهمنش بکار گرفته شده است. برای حل انتگرال زمانی معادلات الاستودینامیک روش نیومارک و برای حل عددی معادله هدایت گرمایی روش کرنک- نیکلسون بکار برد شده است. کلیه مراحل حل مسئله از جمله المان‌بندی و حل معادلات مربوطه و استخراج نتایج با کدنویسی در نرم‌افزار متلب انجام شده است. در نهایت، در چند مثال عددی ضرایب شدت تنش دینامیکی بدست آمده از روش ارائه شده با نتایج تحلیلی و محاسباتی مقایسه شده است. همچنین، اثر زاویه ناهمسانگردی روی ضرایب شدت تنش حرارتی بررسی شده است.

کلیدواژگان: روش المان محدود توسعه یافته، مواد ارتوتروپیک، ضرایب شدت تنش دینامیکی، بارگذاری حرارتی.

Calculation of dynamic stress intensity factors in orthotropic media under thermal loading by XFEM

M.B. Nazari^{1*}, M. Jafari², M. Hajimohammadi³

1,2- Assist., Mech. Eng., shahrood Univ., Shahrood, Iran

3- MSc Student, Mech. Eng., shahrood Univ., Shahrood, Iran

* P.O.B. 3618785545 Shahrood, Iran. mbnazari@shahroodut.ac.ir

Abstract- In this paper, the extended Finite Element Method is implemented to model the effect of the mechanical and thermal shocks on a cracked 2D orthotropic media. The uncoupled thermoelasticity equations are considered. Isoparametric four-node and eight-node rectangular elements are used to discrete governing equations. The dynamical stress intensity factors are computed by the interaction integral method. The Newmark and the Crank–Nicolson time integration schemes are used to numerical solve the spatial-discretized elastodynamic and thermal equations, respectively. A MATLAB code is developed to carry out all stages of the calculations from mesh generation to post-processing. Several elastic and thermoelastic numerical examples are implemented, to check the accuracy of the results and to investigate the effect of the orthotropic direction on the stress intensity factors.

Keywords: Extended Finite Element Method, Orthotropic Materials, Stress Intensity Factors (SIFs), Thermal Loading.

استحکام به وزن باعث شده است کاربردهای صنعتی و

مهندسی این مواد توسعه یابد. در سازه‌های مواد مركب نیز

۱- مقدمه

خصوصیات مختلف مواد مركب از جمله بالا بودن نسبت

برای اولین بار از روش المان محدود توسعه یافته در مسایل مکانیک شکست استفاده کردند [۹]. با استفاده از این روش مدل سازی رشد ترک می‌تواند بدون شبکه‌بندی مجدد صورت پذیرد. در این روش یکسری توابع خاص در قالب پیکربندی واحد به تقریب المان محدود اضافه می‌شود. دالبو جزئیات مربوط به تعیین گره‌های اطراف ترک و غنی‌سازی آنها را بیان کرد و روابط پایه جهت اضافه کردن توابع پله‌ای واحد و تکینه را برای مدل‌های ساده با المان‌های چهارگره‌ای ارائه نمود [۱۰]. توسعه توابع جدید غنی‌سازی برای مواد ارتوتروپیک و کاربرد آن در روش‌المان محدود توسعه یافته، توسط اسدپور و همکاران گزارش شده است [۱۱]. آن‌ها یک مجموعه یکپارچه از توابع غنی‌سازی برای المان‌های اطراف نوک ترک ارائه نمودند و با استفاده از روش انتگرال برهمنش، ضرایب شدت تنش در مواد ارتوتروپیک تحت بار مکانیکی را بدست آوردند.

مسئله شکست ترمومالاستیک نیز به خوبی توسط روش‌های عددی، غیر از روش‌المان محدود توسعه یافته مورد مطالعه قرار گرفته است. شیه و همکاران [۱۲]، ویلسون و یو [۱۳] انتگرال را برای بررسی مسائل حرارتی مواد ایزوتروپیک توسعه دادند. پراساد و همکاران [۱۴]، دل ارباو همکاران [۱۵]، شکست‌ترمومالاستیک گذرا و سه بعدی‌را با استفاده از روش المان مرزی در نوار ایزوتروپیک بررسی کردند. فوجیموتو و نودا ضرایب شدت تنش‌دینامیکی را در مواد ایزوتروپیک تابعی با استفاده از روش المان محدود تحت شوک حرارتی محاسبه نمودند [۱۶]. کیمو کی‌سی در سال ۲۰۰۸ انتگرال برهمنش را برای شکست حرارتی شباهستاتیکی در مواد ایزوتروپیک تابعی بررسی نمودند [۱۷]. شکست ترمومالاستیک استاتیکی در مواد ایزوتروپیک به روش المان محدود توسعه یافته توسط دافلوتوربررسی قرار گرفت. وی مسائل دو بعدی و سه بعدی با شرایط مرزی حرارتی پایا را بررسی نمود [۱۸]. همچنین، اسلامی و زمانی پیاده‌سازی روش المان محدود توسعه یافته برای شروع شکست ترمومالاستیک دینامیکی را در مواد ایزوتروپیک بررسی نمودند [۱۹]. شریعتی و مهدی‌زاده [۲۰] رفتار شکست مواد تابعی تحت شوک‌های حرارتی/مکانیکی را مورد مطالعه و بررسی قرار دادند. آن‌ها برای این منظور از معادلات ترمومالاستیستیک کلاسیک کوپل استفاده نموده‌اند. اخیراً، حسینی و همکاران با استفاده از روش المان محدود

وجود ترک در عضوها، باعث شکست آنها در بارهای کمتر از مقدار مورد انتظار می‌شود. بنابراین، بررسی و پیش‌بینی رفتار ترک و شکست در مواد مركب برای طراحی و یا ارزیابی آنها ضروری است. بطوری که در دهه گذشته شکست دینامیکی مواد مركب یکی از زمینه‌های مورد توجه محققان بوده است [۱]. از سوی دیگر، بسیاری از سازه‌ها و ماشین‌آلات در معرض گردایان دما یا درجه حرارت بالا قرار می‌گیرند. بر این اساس، مطالعات بسیاری برای شبیه‌سازی و تجزیه و تحلیل رفتار مواد تحت بارهای حرارتی انجام شده است.

مطالعه تحلیلی ترک در مواد ارتوتروپیک تحت بار مکانیکی توسط محققانی از جمله موشخلیشویلی [۲]، لختیتسکی [۳]، سی و همکاران [۴] ارائه شده است. نوبایلو کارلونی [۵] با حل تحلیلی مساله مقدار مرزی در مواد ناهمسانگرد به تجزیه و تحلیل یک ترک ایستا تحت بارگذاریدینامیکی پرداختند. سیمو لی [۶] ضریب شدت تنش را در یک نوار ایزوتروپیک بی‌نهایت و دارای ترک لبه‌ای که در معرض شوک حرارتی می‌باشد، با استفاده از روش تابع وزنی بدست آوردند.

با توجه محدود شدن راه حل‌های تحلیلی به حالت‌های خاص مثل ابعاد نامحدود، روش‌های عددی برای بررسی مسائل پیچیده‌تر پیشنهاد می‌شوند. علی‌آبادی و همکاران، از روش المان مرزی برای انتشار ترک و تجزیه و تحلیل دینامیکی ترک در مواد ارتوتروپیک استفاده کردند [۷]. سانچز و همکارانش با استفاده از روش المان مرزی، ترک در مواد جامد الاستیک دو بعدی، همگن و ناهمسانگرد که تحت بار دینامیکی قرار دارد را بررسی نمودند [۸]. روش المان مرزی، صرف نظر از تمام مزایایی که دارد، در مقایسه با روش المان محدود، کمتر در سیستم‌های غیرخطی به کار می‌رود. با این حال، در این روش نیز مانند روش المان محدود کلاسیک برای مدل‌سازی ترک باید المان‌ها بر سطح ترک منطبق باشند. همچنین، کاربرد المان‌های تکین و یا بسیار ریز در نوک ترک برای رصد تکینی میدان تنش ضروری است.

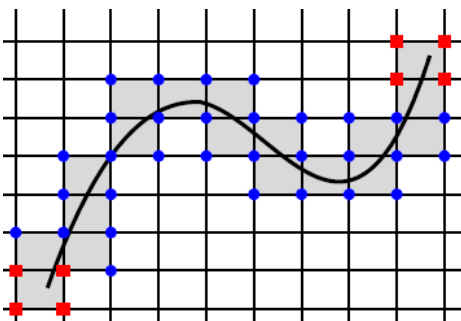
روش المان محدود توسعه یافته با توسعه‌دادن محلی تقریب در مدل روش المان محدود حول ترک، کاستی این روش را بر طرف ساخته است. این روش اجازه می‌دهد ناپیوستگی سطح ترک و تکینی نوک آن شبیه‌سازی شود، بدون این که صریحاً ترک در المان‌بندی لحظه شود. در سال ۱۹۹۸ بلیچکو و بلک

می‌شود و تنها درجات آزادی گره‌های اطراف ترک افزایش پیدا می‌کند (غنى‌سازی). یعنی با اضافه نمودن توابع خاص، درجات آزادی که به واسطه ناپیوستگی در محل ترک درون المان بوجود می‌آید، به گره‌های آن المان اختصاص پیدا می‌کند. به عنوان مثال مطابق شکل ۱، گره‌های اطراف ترک که با دایره مشخص شده‌اند از طریق تابع پله‌ای واحد غنى می‌شوند و چهار گره اطراف نوک ترک که با مربع مشخص شده از طریق تابع تکین غنى می‌شوند.

تقریب عددی در المان محدود توسعه‌یافته از دو بخش تشکیل شده است: بخش اول تولید مش هندسه دامنه (صرف نظر از وجود هر گونه ترک یا ناپیوستگی‌های دیگر) و بخش دوم غنى‌سازی تقریب المان محدود با توابع مناسب برای مدل‌سازی هر عیوب و نقص [۹].

$$u^h(x) = \sum_n \phi_n(x) u_n + \sum_I \phi_I(x) H(x) b_I + \sum_{k \in J} \phi_k(x) \left(\sum_{l=1}^4 C_k^l F_l(x) \right) \quad (1)$$

در رابطه (۱)، عبارت اول مربوط به المان محدود استاندارد است و عبارت دوم برای غنى‌سازی المان‌هایی که ترک آن‌ها را قطع نموده است؛ استفاده می‌شود. تابع $H(x)$ تابع تعمیم‌یافته هویساًید است، که به گره‌های بالای ترک مقدار ۱+ و به گره‌های پایین ترک مقدار ۱- را نسبت می‌دهد. عبارت سوم جهت غنى‌سازی المان حاوی نوک ترک به کار برده می‌شود. در این رابطه، I با دایره نشان داده شده است) و J مجموعه گره‌های مربوط به نوک ترک (در شکل ۱ با مربع نشان داده شده است) می‌باشد.



شکل ۱ غنى‌سازی گره‌ها در روش المان محدود توسعه‌یافته. مربع: غنى‌سازی با توابع نوک ترک. دایره: غنى‌سازی با تابع پله‌ای.

توسعه‌یافته به محاسبه ضرایب شدت تنش و بررسی رشد ترک در مواد مرکب تابعی ارتوتروپیک تحت بار حرارتی پایا پرداخته‌اند [۲۱].

بنابر اطلاعات نویسنده‌گان، تاکنون کاربرد روش المان محدود توسعه‌یافته برای مطالعه شکست دینامیکی مواد ارتوتروپیک تحت بار حرارتی گزارش نشده است. در این مقاله، ضرایب شدت تنش دینامیکی در محیط دو بعدی ارتوتروپیک تحت بارگذاری حرارتی با استفاده از انتگرال مستقل از مسیر برهمنش و روش المان محدود توسعه‌یافته محاسبه شده است. در بخش بعد، کاربرد المان محدود توسعه‌یافته در مدل‌سازی ترک با توابع غنى‌سازی‌نوک ترک و میدان‌های جابجایی و تنش در حوزه نوک ترک شرح داده شده است. فرمول‌بندی مکانیک شکست برای تحلیل دینامیکی ترک در مواد ارتوتروپیک، در بخش سوم بحث شده است. در بخش چهارم، انتگرال برهمنش برای محاسبه ضرایب شدت تنش حرارتیو میدان‌های کمکی بیان شده است. حل عددی معادله هدایت گرمایی و معادلات ترمومالاستیک در بخش پنجم آمده است. در دو بخش بعدی نیز در چند مثال عددی علاوه بر ارزیابی دقت نتایج، جنبه‌های قابل ذکر آن‌ها و در نهایت نتیجه‌گیری آمده‌است.

۲- مدل‌سازی ترک با روش المان محدود توسعه‌یافته

در این بخش، روش غنى‌سازی جهت مدل‌کردن گسستگی‌های دلخواه در چارچوب الاستیسیته خطی دو بعدی بر اساس افزار واحد تشریح شده است. در این روش، در مقایسه با تقریب کلاسیک برای مدل‌سازی ترک‌ها با المان محدود، با غنى‌سازی ناپیوستگی، هندسه ترک بصورت مستقل از شبکه، نمایش داده شده است. همچنین بمنظور محاسبه دقیق تر ضرایب شدت تنش، تقریب در نزدیکی نوک ترک نیز شامل غنى‌سازی می‌شود. در روش المان محدود استاندارد به هر گره از المان، تابع شکل نسبت داده می‌شود و در حالت دو بعدی هر گره ۲ درجه آزادی دارد که ترکیب خطی حاصل ضرب تابع شکل هر نقطه داخل المان در تغییر مکان‌های گره‌ای می‌تواند تغییر مکان نقاط داخل المان را مشخص کند. در روش المان محدود توسعه‌یافته از همان توابع شکل روش المان محدود استاندارد استفاده

در روابط فوق، h ضریب همرفتی و n بردار عمودی یکه و رو به خارج روی مرز Γ است. مطابق شکل ۲، فرض می‌شود $\Gamma_t \cap \Gamma_u = \Gamma$ و $\Gamma_t \cup \Gamma_u = \Gamma$. قسمتی از مرز Γ است که $\Gamma_t \cap \Gamma_u = \phi$ است. روابط ساختاری برای هدایت گرمایی و برای تنش-کرنش به صورت رابطه (۷) است.

$$q = -k\nabla T$$

$$\sigma = \tilde{C} : (\varepsilon - \varepsilon^{th}) \quad (7)$$

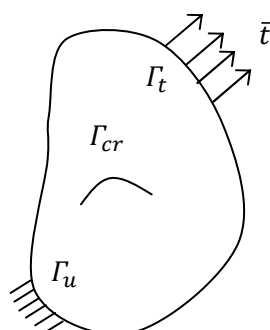
که در آن مقدار ε^{th} با استفاده از رابطه (۸) بدست می‌آید.

$$\varepsilon^{th} = \gamma \Delta T \quad (8)$$

$$\gamma = \begin{pmatrix} \alpha_1 \\ \alpha_2 \\ 0 \end{pmatrix} \quad \text{حالت تنش صفحه‌ای} \quad (9)$$

$$\gamma = \begin{pmatrix} \nu_{31}\alpha_3 + \alpha_1 \\ \nu_{32}\alpha_3 + \alpha_2 \\ 0 \end{pmatrix} \quad \text{حالت کرنش صفحه‌ای} \quad (10)$$

در روابط بالا، C تانسور مرتبه چهارم تانسور الاستیک، k ماتریس هدایت گرمایی، α ضریب انبساط حرارتی، ρ چگالی و ظرفیت حرارتی ویژه است. متغیرهای میدان نیز، u بردار جابجایی، ε تانسور کرنش کل، Q منبع حرارتی و b نیروی کالبدی است. تانسور الاستیک (سفتی) در مواد ارتوتروپیک به صورت رابطه‌های (۱۱) و (۱۲) تعریف می‌شود.



شکل ۲ جسم با مرزهای داخلی تحت بارگذاری خارجی

$$\text{حالت تنش صفحه‌ای} \quad [C] = \frac{1}{(1-\nu_{12}\nu_{21})} \begin{bmatrix} E_1 & \nu_{12}E_2 & 0 \\ \nu_{12}E_2 & E_2 & 0 \\ 0 & 0 & (1-\nu_{12}\nu_{21})G_{12} \end{bmatrix} \quad (11)$$

تابع $F_l(x)$ توابع غنی‌سازی حوزه نوک ترک می‌باشد که برای رصد تکینی میدان تنش در این ناحیه اضافه شده‌اند و به صورت رابطه (۲)، تعریف می‌شوند.

$$\{F_l(r, \theta)\}_{l=1}^4 = \left\{ \sqrt{r} \cos \frac{\theta_1}{2} \sqrt{g_1(\theta)}, \sqrt{r} \cos \frac{\theta_2}{2} \sqrt{g_2(\theta)}, \sqrt{r} \sin \frac{\theta_1}{2} \sqrt{g_1(\theta)}, \sqrt{r} \sin \frac{\theta_2}{2} \sqrt{g_2(\theta)} \right\} \quad (2)$$

و θ_i به صورت رابطه (۳)، تعریف می‌شوند.

$$g_k(\theta) = \sqrt{(\cos \theta + \mu_{kx} \sin \theta)^2 + (\mu_{ky} \sin \theta)^2}, \quad (3)$$

$$\theta_k = \arctg\left(\frac{\mu_{ky} \sin \theta}{\cos \theta + \mu_{kx} \sin \theta}\right), \quad k = 1, 2 \quad (4)$$

مقدار μ در پیوست معرفی شده است.

۳- روابط ترموموالاستیسیته در مواد ارتوتروپیک

در یک پیوستار به حجم Ω و محصور به منحنی Γ که همزمان تحت بارگذاری مکانیکی و حرارتی قرار دارد؛ شرایط مرزی حرارتی بصورت دمای معلوم \bar{T} روی مرز Γ_T شار حرارتی T_∞ معلوم \bar{q} در جهت n روی مرز Γ_d و دمای محیط معلوم \bar{u} روی مرز Γ_c است. شرایط مرزی مکانیکی بصورت نیروی معلوم \bar{f} روی مرز Γ_t و تغییرمکان معلوم \bar{u} روی مرز Γ_u بیان می‌شود. معادلات حاکم ترموموالاستیسیته خطی و شباهستاتیکی در ناحیه Ω بصورت رابطه (۵)، است.

رابطه هدایت گرمایی:

$$\begin{aligned} -\nabla q + Q &= \rho c \frac{\partial T}{\partial t} \quad \text{در } \Omega \\ T &= \bar{T} \quad \text{روی } \Gamma_T \\ k\nabla T \cdot n &= \bar{q} \quad \text{روی } \Gamma_q \\ k\nabla T \cdot n + h(T - T_\infty) &= \bar{q} \quad \text{روی } \Gamma_c \\ k\nabla T \cdot n &= 0 \quad \text{روی } \Gamma_{\text{crack}} \end{aligned} \quad (5)$$

معادلات تعادل، شرایط اولیه و مرزی مطابق رابطه (۶) می‌باشند.

$$\nabla \cdot \sigma + b = \rho ii \quad \text{در } \Omega$$

$$\begin{aligned} u &= \bar{u} \quad \text{روی } \Gamma_u \\ \sigma \cdot n &= \bar{t} \quad \text{روی } \Gamma_t \\ \sigma \cdot n &= 0 \quad \text{روی } \Gamma_{\text{crack}} \\ u(x, t=0) &= \bar{u}(0) \\ \dot{u}(x, t=0) &= \bar{\dot{u}}(0) \end{aligned} \quad (6)$$

که در آن، u_n و \dot{u}_n به ترتیب بردار جابجایی، بردار سرعت و بردار شتاب گرهها و Δt افزایش زمان در هر گام (n) می‌باشد. روش نیومارک به‌ازای پارامترهای $\alpha=0.05$ و $\beta=0.25$ بطور نامشروع پایدار است [۲۲].

۴- انتگرال برهم‌کنش

در مکانیک شکست، روش‌های مختلفی برای محاسبه عددی ضرایب شدت تنش معرفی شده است که در میان آن‌ها، روش‌های مبتنی بر انرژی مثل انتگرال J ، روش‌های قوامدار و کارآمد به‌شمار می‌روند. انتگرال برهم‌کنش در واقع عبارت برهم‌کنش دو حالت بارگذاری مستقل (یک میدان اصلی و یک میدان کمکی) و قابل قبول برای سازه حاوی ترک است که در انتگرال‌های پایستار الاستیسیته پدید می‌آید. در این بخش، راجع به انتگرال برهم‌کنش برای مواد ارتوتروپیک تحت بار حرارتی بحث شده است.

فرم معمول انتگرال J برای یک ترک بدون اعمال نیرو به سطوح آن، بصورت رابطه (۱۸) است [۲۳].

$$J = \lim_{\Gamma_s \rightarrow 0} \int_{\Gamma_s} (W\delta_{1j} - \sigma_{ij} u_{i,1}) n_j d\Gamma_s \quad (18)$$

مقدار W به صورت رابطه (۱۹) تعریف می‌شود.

$$W = \frac{1}{2} \sigma_{ij} \varepsilon_{ij}^m \quad (19)$$

با کاربرد قضیه دیورزانس و در نظر گرفتن تابع پیوسته q انتگرال ناحیه‌ای معادل برای انتگرال J ، بصورت رابطه (۲۰) بیان می‌شود [۲۳].

$$\begin{aligned} J &= \int_A (\sigma_{ij} u_{i,1} - W\delta_{1j}) q_{,j} dA \\ &+ \int_A (\sigma_{ij} u_{i,1} - W\delta_{1j})_{,j} q dA \end{aligned} \quad (20)$$

که در آن، A ناحیه محصور به منحنی Γ است. برای یک سیستم خطی، انتگرال J برای اعمال هزمنان بارگذاری‌های اصلی و کمکی بصورت رابطه (۲۱) قابل بیان است.

$$J^s = J + J^{aux} + M \quad (21)$$

که در آن J و J^{aux} به ترتیب مقدار انتگرال J برای حالت بارگذاری اصلی و کمکی است و انتگرال برهم‌کنش M بصورت زیر حاصل می‌شود [۱۱].

حالت کرنش صفحه‌ای

$$[C] = \begin{bmatrix} aE_1 & bE_1 & 0 \\ cE_2 & dE_2 & 0 \\ 0 & 0 & (ad-bc)G_{12} \end{bmatrix} \quad (12)$$

که در آن، E_1 مدول ارجاعی در جهت $E_2 x_1$ مدول ارجاعی در جهت x_2 و G_{12} مدول برشی می‌باشد و ضرایب a ، b ، c و d بر حسب ضرایب پواسون به صورت رابطه (۱۳) تعریف می‌شوند.

$$\begin{aligned} a &= 1 - \nu_{23} \nu_{32}, & b &= \nu_{21} + \nu_{23} \nu_{31} \\ c &= \nu_{12} + \nu_{13} \nu_{32}, & d &= 1 - \nu_{13} \nu_{31} \end{aligned} \quad (13)$$

با درنظر گرفتنتابع تقریب به صورت رابطه (۱)، فرم گسسته معادلات حاکم به صورت رابطه (۱۴) حاصل می‌شود.

$$\begin{aligned} Mi\ddot{u} + Ku &= F^{ext} \\ C^{th}\dot{T} + K^{th}T &= f^{th} \end{aligned} \quad (14)$$

در این روابط، K ماتریس سفتی کل مدل است که متقاضن می‌باشد، u و T بردار مجهولات گرهای است که در آن، مجهولات مربوط به درجهات آزادی استاندارد و درجهات آزادی مرتبط با غنی‌سازی هر گره (در صورت وجود) به صورت متوالی قرار گرفته است. در رابطه اول، F^{ext} نیز بردار نیروهای خارجی اعمال شده به گرهای می‌باشد و شامل نیروهای مکانیکی و نیروهای حرارتی است.

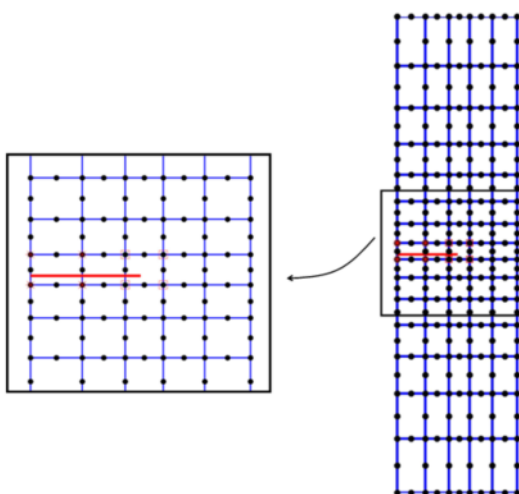
$$F = F^m + F^{th} \quad (15)$$

در این تحقیق، برای حل معادله گسسته هدایت گرمایی از روش ضمنی کرانک-نیکلسون استفاده شده است. در این روش، دمای گرهای در هر گام زمانی n براساس دمای گرهای در گام زمانی قبلی ($n-1$) به صورت رابطه (۱۶) بدست می‌آید.

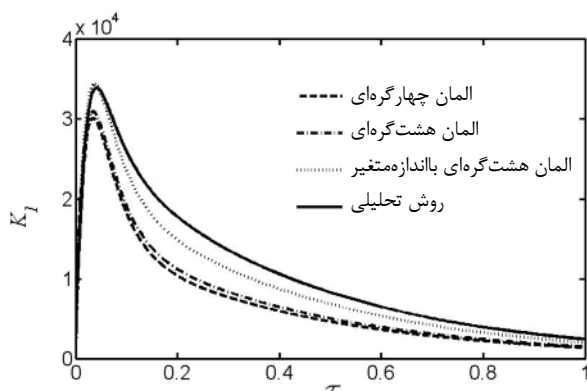
$$[2C^{th} + K^{th}\Delta t]T^n = \Delta t (f_{n-1}^{th} + f_n^{th}) + [2C^{th} - K^{th}\Delta t]T_{n-1} \quad (16)$$

برای حل عددی معادله تعادل، روش نیومارک مورد استفاده شده است. در هر مرحله زمانی n ، شتاب، سرعت و جابجایی در گرهای بصورت رابطه (۱۷) محاسبه می‌شود:

$$\begin{aligned} \ddot{u}_n &= \frac{F - K \left(u_{n-1} + \Delta t \dot{u}_{n-1} + (1-2\beta) \frac{\Delta t^2}{2} \ddot{u}_{n-1} \right)}{(M + \beta \Delta t^2 K)} \\ \dot{u}_n &= \dot{u}_{n-1} + (1-\alpha) \Delta t \ddot{u}_{n-1} + \alpha \Delta t \ddot{u}_n \\ u_n &= u_{n-1} + \Delta t \dot{u}_{n-1} + (1-2\beta) \frac{\Delta t^2}{2} \ddot{u}_{n-1} + \beta \Delta t^2 \ddot{u}_n \end{aligned} \quad (17)$$



شکل ۴ المان های هشت گره ای با اندازه متغیر

شکل ۵ نمودار ضریب شدت تنش K_I بر حسب زمان بی بعددر صفحه ایزوتروپیک با المان های مختلف

۲-۵- ترک لبهای برای ماده ارتوتروپیک تحت بار مکانیکی

یک صفحه با ابعاد $40 \times 2h = 52$ واحد و $w = 52$ واحد و ضخامت به اندازه کافی کوچک در نظر گرفته می‌شود که دارای ترک مستقیم لبهای به طول $a = 12$ واحد است، صفحه از بالا و پایین به یکباره تحت تنش ثابت و یکنواخت σ قرار می‌گیرد و از آن پس مقدار آن تغییر نمی‌کند (بصورت تابع پله). صفحه قید تغییرمکان ندارد. ناهمسانگردی می‌تواند نسبت به محور افقی زاویه (α) داشته باشد. این صفحه نازک با الیاف تک جهتی در واقع یک ماده ایزوتروپیک جانبی - حالت خاصی از ماده ارتوتروپیک- است. مشخصات ماده $E_1 = 118/3$ GPa و $G_{12} = 79/8$ GPa و $E_2 = 54/8$ GPa

۵- نتایج عددی

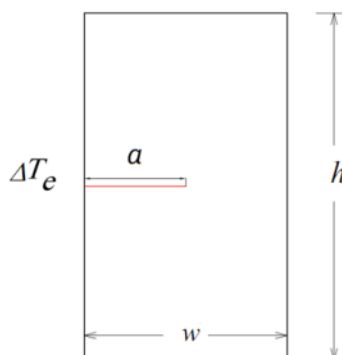
۱-۵- ترک لبهای برای ماده ایزوتروپیک تحت بار حرارتی

صفحه دو بعدی با طول $4 = h$ و عرض $1 = w$ واحد در نظر گرفته می‌شود که دارای ترک لبهای مستقیم است (مطابق شکل ۳). صفحه در لبه چپ به سرعت بهاندازه $K = 10$ K سرد می‌شود. تمامی لبهای دیگر عایق و شرایط کرنش صفحه‌ای در نظر گرفته شده است. ضریب پواسون $\nu = 0/3$ ، مدول الاستیسیته $E = 200$ GPa ، چگالی $\rho = 1900$ kg/m³ ، ضریب انبساط حرارتی $\alpha = 6/68 \times 10^{-6}$ K⁻¹ ، ظرفیت گرمایی $k = 17$ W/mK و ضریب هدایت حرارتی $C = 461$ J/kgK می‌باشد. در این مثال از شبکه المانی 160×60 استفاده و زمان t مطابق رابطه (۳۶) بی بعد شده است.

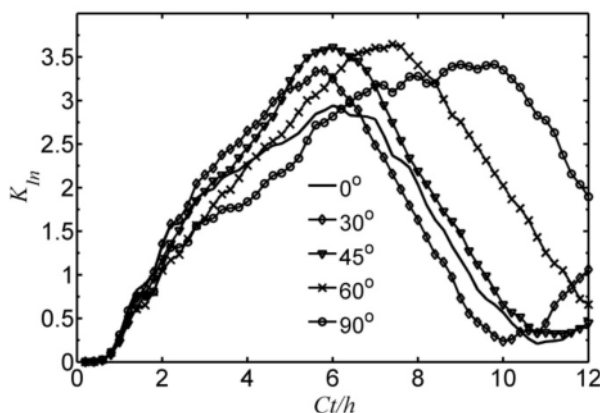
$$\tau = \frac{kt}{\rho C W^2} \quad (36)$$

نتایج برای شبکه‌ای از المان‌های چهار گره‌ای منظم، هشت گره‌ای منظم و هشت گره‌ای ریز شونده در نوک ترک (مطابق شکل ۴) بدست آمده است. تغییرات زمانی ضریب شدت تنش K_I برای طول ترک $a = 0/4$ در شکل ۵ رسم و با مقادیر تحلیلی مقایسه شده است. مقدار تحلیلی ضریب شدت تنش K_I در زمان‌های مختلف توسط لی و سیم [۶] با استفاده از تابع وزنی ارائه شده است.

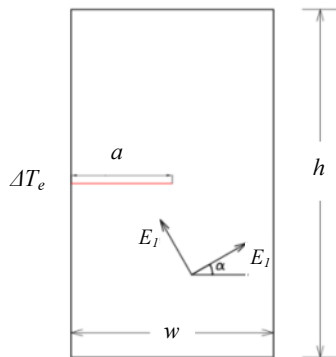
مقدار ضریب شدت تنش برای المان‌های هشت گره‌ای نامنظم بیشترین تطابق را با نتایج تحلیلی دارد. در المان‌های هشت گره‌ای غنی‌سازی فقط برای گره‌های گوشه انجام می‌شود.



شکل ۳ صفحه ایزوتروپیک دارای ترک لبهای تحت بارگذاری حرارتی



شکل ۷ مقدار ضرایب شدت تنش بی بعد K_{In} در زمان‌های مختلف با زوایای ناهمسانگردی مختلف در ماده ارتوتروپیک



شکل ۸ صفحه ارتوتروپیک دارای ترک لبه‌ای تحت بارگذاری حرارتی

مشخصات ماده $\nu_{12} = 0.14$, $\nu_{11} = 0.21$, $\nu_{13} = 0.28$, $\nu_{12} = 0.27$, $E_1 = 116/36 \text{ GPa}$, $E_2 = 90/43 \text{ GPa}$, $G_{12} = 38/21 \text{ GPa}$ و $\rho = 3980 \text{ kg/m}^3$, ضریب انبساط حرارتی $\alpha_1 = 7/5 \times 10^{-6} \text{ K}^{-1}$, $\alpha_2 = 8 \times 10^{-6} \text{ K}^{-1}$, $\alpha_3 = 9 \times 10^{-6} \text{ K}^{-1}$, ظرفیت گرمایی ویژه $C = 775 \text{ J/kgK}$ و ضریب هدایت حرارتی به ترتیب $k_1 = 29/82 \text{ W/mK}$, $k_2 = 21/25 \text{ W/mK}$ در نظر گرفته شده است. در این مثال، از شبکه المان هشت گره‌ای 60×160 با اندازه متغیر استفاده شده است و مقدار زمان t مطابق فرمول (۳۷) بی بعد شده است.

$$\tau = \frac{k_{xx} t}{\rho c W^2} \quad (37)$$

ضریب شدت تنش دینامیکی K_I برای زوایای ناهمسانگردی مختلف در شکل ۹ بر حسب زمان بی بعد رسم شده است. برای مقایسه بهتر نمودارها، نمودار نیمه‌لگاریتمی ضرایب شدت تنش K_I در شکل ۱۰ آورده شده است. همان‌طور که در نمودار شکل

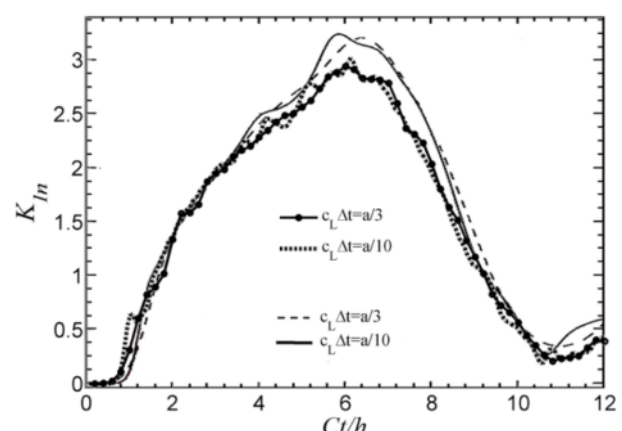
$\rho = 1900 \text{ kg/m}^3$ می‌باشد. همچنین گام‌های زمانی برابر $\Delta t = a/10 c_1$ و یک بار نیز $\Delta t = a/3 c_1$ در نظر گرفته شده است، که $c_1 = \sqrt{C_{22}/\rho}$ مؤلفه ماتریس سفتی می‌باشد ($\sigma = C \varepsilon$).

مقدار ضریب شدت تنش دینامیکی بی بعد K_{In} در زمان‌های مختلف با مش 78×60 محاسبه و نتایج در شکل ۶ آورده شده است. به علاوه، نتایج بدست آمده با ضریب شدت تنش دینامیکی K_{In} ارائه شده توسط سانچز و همکارانش [۸] مقایسه شده است.

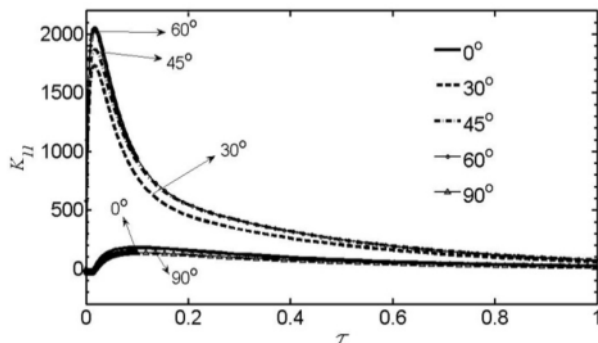
در این مثال، مقادیر ضریب شدت تنش دینامیکی بی بعد K_{In} در زمان‌های مختلف و برای زوایای ناهمسانگردی مختلف نیز بدست آمده است. گام‌های زمانی برابر $\Delta t = a/3 c_1$ در نظر گرفته شده است. مطابق شکل ۷، بیشینه مقدار ضریب شدت تنش در زوایای ناهمسانگردی صفر درجه کمترین مقدار متناظر نسبت به زوایای دیگر را دارد. از طرفی، زمان رسیدن به مقدار بیشینه برای زوایای ناهمسانگردی مختلف یکسان نیست.

۳-۵- ترک لبه‌ای برای ماده ارتوتروپیک تحت شوک حرارتی

صفحه دوبعدی ارتوتروپیک با ابعاد $h = 4 \text{ mm}$ و $w = 1 \text{ mm}$ در نظر گرفته می‌شود که دارای ترک لبه‌ای مستقیم به طول $a = 0.4 \text{ mm}$ است (شکل ۸). صفحه در لبه چپ به سرعت به اندازه $\Delta T = -10 \text{ K}$ سرد می‌شود. تمامی لبه‌های دیگر عایق و شرایط کرنش صفحه‌ای در نظر گرفته شده است.



شکل ۶ مقدار ضریب شدت تنش بی بعد K_{In} در زمان‌های مختلف با زوایه ناهمسانگردی صفر درجه در ماده ارتوتروپیک



شکل ۱۱ نمودار ضرایب شدت تنش دینامیکی K_{II} بر حسب زمان بی بعد در صفحه ارتوتروپیک در زوایای الیاف مختلف

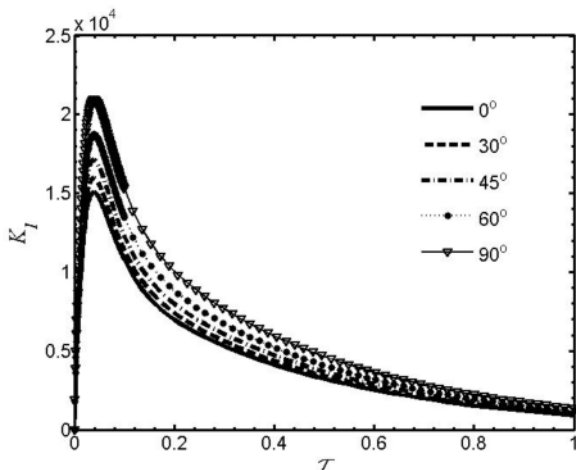
در یک نقطه ثابت از صفحه، ابتدا تنش بخاطر تغییر نمایی دما به آرامی تا مقدار بیشینه زیاد می‌شود اما با رسیدن موج ناگهان تغییر علامت می‌دهد. پس از عبور موج نیز تنش به‌آرامی تغییر می‌کند. ضرایب شدت تنش نیز تا قبل از رسیدن موج تنش به نوک ترک افزایش می‌یابند اما با عبور موج و تغییر علامت تنش، مقدار آنها تا رسیدن به مقدار پایا کاهش پیدا می‌کند. زمان متناظر با مقدار بیشینه با زیاد شدن زاویه ناهمسانگردی افزایش می‌یابد.

۶- نتیجه‌گیری

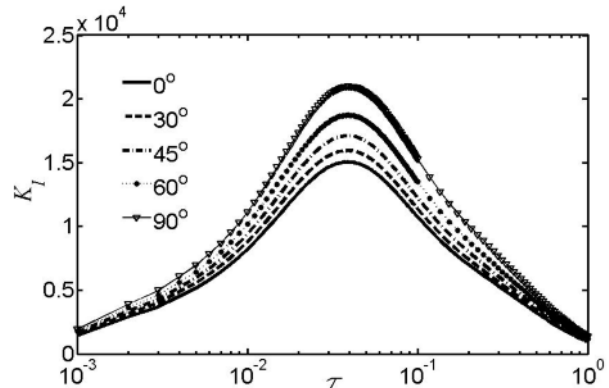
در این مطالعه، روش المان محدود توسعه‌یافته برای بدست آوردن ضرایب شدت تنش دینامیکی در محیط‌های دوبعدی از مواد ارتوتروپیک به کار رفته است. طبق نتایج، در مواد ارتوتروپیک نیز مانند مواد ایزوتروپیک در ابتدای اعمال شوک حرارتی، ضرایب شدت تنش سریعاً تا یک مقدار حداقل افزایش یافته و سپس با سرعت کمتری کاهش می‌یابد. این مسئله نشانگر امکان ایجاد رشد ترک در زمان‌های ابتدایی تغییر دمای صفحه است. به علاوه، در مواد ارتوتروپیک مقدار بیشینه ضرایب شدت تنش و زمان وقوع آن به زاویه ناهمسانگردی کاملاً بستگی دارد. در مثال ذکر شده، بیشینه ضرایب شدت تنش دینامیکی در زاویه ناهمسانگردی صفر درجه دارای کمترین مقدار است و در سریعتر اتفاق می‌افتد.

برای یک ترک لبه‌ای عمود، زاویه الیاف نقش موثری در رفتار ترک دارد. تغییر زاویه الیاف از صفر باعث به وجود آمدن ضرایب شدت تنش مود II می‌شود. وجود ضرایب شدت تنش مود II باعث انحراف ترک در زمان رشد آن از راستای عمود بر لبه

۹ دیده می‌شود با افزایش زاویه ناهمسانگردی مقدار بیشینه ضرایب شدت تنش دینامیکی K_I نیز افزایش می‌یابد. در این مثال ضرایب شدت تنش دینامیکی K_{II} نیز برای زوایای ناهمسانگردی مختلف محاسبه گردیده و در شکل ۱۱ رسم شده است. مطابق شکل ۱۱ با افزایش زاویه ناهمسانگردی مقدار بیشینه ضرایب شدت تنش دینامیکی K_{II} نیز افزایش می‌یابد. برخلاف K_I ، مقدار K_{II} در زاویه ناهمسانگردی ۹۰ درجه نمودار مشابه زاویه ناهمسانگردی صفر درجه است. نتایج نشان می‌دهند در زمان‌های ابتدایی اعمال شوک، ضرایب شدت تنش به سرعت افزایش و پس از رسیدن به مقدار بیشینه، تا مقدار پایا کاهش می‌یابد. اعمال شوک حرارتی به صورت سرمایشی به لبه چپ صفحه باعث ایجاد موج تنش در آن می‌شود.



شکل ۹ نمودار ضرایب شدت تنش دینامیکی K_I بر حسب زمان بی بعد در صفحه ارتوتروپیک در زوایای الیاف مختلف



شکل ۱۰ نمودار نیمه لگاریتمی ضرایب شدت تنش دینامیکی K_I بر حسب زمان بی بعد در صفحه ارتوتروپیک در زوایای الیاف مختلف

$$g_1^I(\theta) = \operatorname{Re} \left[\frac{1}{\mu_1 - \mu_2} \left\{ \mu_1 p_2 \sqrt{\cos \theta + \mu_2 \sin \theta} - \mu_2 p_1 \sqrt{\cos \theta + \mu_1 \sin \theta} \right\} \right]$$

$$g_1^{II}(\theta) = \operatorname{Re} \left[\frac{1}{\mu_1 - \mu_2} \left\{ p_2 \sqrt{\cos \theta + \mu_2 \sin \theta} - p_1 \sqrt{\cos \theta + \mu_1 \sin \theta} \right\} \right]$$

$$g_2^I(\theta) = \operatorname{Re} \left[\frac{1}{\mu_1 - \mu_2} \left\{ \mu_1 q_2 \sqrt{\cos \theta + \mu_2 \sin \theta} - \mu_2 q_1 \sqrt{\cos \theta + \mu_1 \sin \theta} \right\} \right]$$

$$g_2^{II}(\theta) = \operatorname{Re} \left[\frac{1}{\mu_1 - \mu_2} \left\{ q_2 \sqrt{\cos \theta + \mu_2 \sin \theta} - q_1 \sqrt{\cos \theta + \mu_1 \sin \theta} \right\} \right]$$

$$p_k = a_{11}\mu_k^2 + a_{12} - a_{16}\mu_k \longrightarrow k=1,2$$

$$q_k = a_{12}\mu_k + \frac{a_{22}}{\mu_k} - a_{26} \longrightarrow k=1,2$$

μ ریشه معادله مشخصه زیر می‌باشد.

$$a_{11}\mu^4 - 2a_{16}\mu^3 + (2a_{12} + a_{66})\mu^2 - 2a_{26}\mu + a_{22} = 0$$

مراجع -۸

- [1] Erdogan F., "Fracture mechanics" *International Journal Solids and Structures*, Vol. 37, No. 1, 2000, pp. 171-183.
- [2] Muskelishvili NI., *Some basic problems on the mathematical theory of elasticity.*, Translated by Radok JRM. Noordhoof, Groningen, 1953.
- [3] Lekhnitskii SG., *Theory of an anisotropic elastic body.*, San Francisco: Holden-Day, 1963.
- [4] Sih GC., Paris PC., Irwin GR., "On cracks in rectilinearly anisotropic bodies" *International Journal of Fracture Mechanics*, Vol.1, No. 3, 1965, pp. 189-203.
- [5] Nobile L., Carloni C., "Fracture analysis for orthotropic cracked plates", *Compos Struct*, Vol. 68, No. 3, 2005, pp. 285-293.
- [6] Lee K.Y., Sim K.B., "thermal shock stress buckner's weight intensity factor by function method", *Engineering Fracture Mechanics*, Vol. 37, No. 4, 1990, pp. 799-804.
- [7] Aliabadi M.H., Sollero P., "Crack growth analysis in homogeneous orthotropic laminates", *Compos Sci Technol*, Vol. 58, No. 10, 1998, pp. 1697-1703.
- [8] Sanchez F., Zhang C., Saez A., "A two-dimensional time-domain boundary element method for dynamic crack problems in anisotropic solids", *Engineering Fracture Mechanics*, Vol. 75, 2008, pp. 1412-1430.
- [9] Belytschko T., Black T., "Elastic crack growth in

می‌شود. این امر از دو تکه شدن قطعه در اثر رشد ترک در راستای آن که در حالت ایزوتروپیک اتفاق می‌افتد جلوگیری می‌نماید. بنابراین، تمایل جهت ناهمسانگردی باعث تغییر مسیر رشد ترک و نهایتاً توقف آن و یا جدا شدن لایه‌ای از سطح قطعه می‌شود.

۷- پیوست: توابع زاویه‌ای میدان‌های حوزه نوک ترک

$$f_{11}^I(\theta) = \operatorname{Re} \left[\frac{\mu_1 \mu_2}{\mu_1 - \mu_2} \left\{ \frac{\mu_2}{\sqrt{\cos \theta + \mu_2 \sin \theta}} - \frac{\mu_1}{\sqrt{\cos \theta + \mu_1 \sin \theta}} \right\} \right]$$

$$f_{11}^{II}(\theta) = \operatorname{Re} \left[\frac{1}{\mu_1 - \mu_2} \left\{ \frac{\mu_2^2}{\sqrt{\cos \theta + \mu_2 \sin \theta}} - \frac{\mu_1^2}{\sqrt{\cos \theta + \mu_1 \sin \theta}} \right\} \right]$$

$$f_{22}^I(\theta) = \operatorname{Re} \left[\frac{1}{\mu_1 - \mu_2} \left\{ \frac{\mu_1}{\sqrt{\cos \theta + \mu_2 \sin \theta}} - \frac{\mu_2}{\sqrt{\cos \theta + \mu_1 \sin \theta}} \right\} \right]$$

$$f_{22}^{II}(\theta) = \operatorname{Re} \left[\frac{1}{\mu_1 - \mu_2} \left\{ \frac{1}{\sqrt{\cos \theta + \mu_2 \sin \theta}} - \frac{1}{\sqrt{\cos \theta + \mu_1 \sin \theta}} \right\} \right]$$

$$f_{12}^I(\theta) = \operatorname{Re} \left[\frac{\mu_1 \mu_2}{\mu_1 - \mu_2} \left\{ \frac{1}{\sqrt{\cos \theta + \mu_1 \sin \theta}} - \frac{1}{\sqrt{\cos \theta + \mu_2 \sin \theta}} \right\} \right]$$

$$f_{12}^{II}(\theta) = \operatorname{Re} \left[\frac{1}{\mu_1 - \mu_2} \left\{ \frac{\mu_1}{\sqrt{\cos \theta + \mu_1 \sin \theta}} - \frac{\mu_2}{\sqrt{\cos \theta + \mu_2 \sin \theta}} \right\} \right]$$

- Archive of Applied Mechanics*, Vol. 70, No. 6, 2000, pp. 377-386.
- [17] KC A., Kim J.H., "Interaction integrals for thermal fracture of functionally graded materials", *Engineering Fracture Mechanics*, Vol. 75, No. 8, 2008, pp. 2542-2565.
- [18] Duflot M., "The extended finite element method in thermoelastic fracture mechanics", *International Journal for Numerical Methods in Engineering*, Vol. 74, No. 5, 2008, pp. 827-847.
- [19] Zamani A., Eslami M.R., "Implementation of the extended finite element method for dynamic thermoelastic fracture initiation", *International Journal of Solids and Structures*, Vol. 47, No. 10, 2010, pp. 1392-1404.
- [20] Shariati M., Mahdizadeh Rokhi M., "Study of Dynamic Fracture of Functionally Graded Materials under Thermo-mechanical Shocks" *Journal of Solid and Fluid Mechanics*, Vol. 1, No. 3, pp. 1-16. (In Persian)
- [21] Hosseini S.S., Bayesteh H., Mohammadi S., "Thermo-mechanical XFEM Crack Propagation Analysis of Functionally Graded Materials" *Materials Science and Engineering*, Vol. 561, 2013, pp. 285-302.
- [22] Motamedi D., Mohammadi S., "Dynamic crack propagation analysis of orthotropic media by the extended finite element method", *International Journal of Fracture*, Vol. 161, No. 1, 2009, pp. 21-39.
- [23] Kim J.H., Paulino G.H., "The interaction integral for fracture of orthotropic functionally graded materials: evaluation of stress intensity factors", *International Journal Solids and Structures*, Vol. 40, 2003, pp. 3967-4001.
- finite elements with minimal remeshing" *International Journal of Fracture Mechanics*, Vol. 45, No. 5, 1999, pp. 601-620.
- [10] Dolbow J., *An Extended Finite Element Method with Discontinuous Enrichment for Applied Mechanics*, PhD Thesis, Theoretical and Applied Mechanics, Northwestern University, Evanston, IL, U.S.A, 1999.
- [11] Asadpoure A., Mohammadi S., "Developing new enrichment functions for crack simulation in orthotropic media by the extended finite element method", *International Journal for Numerical Methods in Engineering*, Vol. 69, 2007, pp. 2150-2172.
- [12] Shih C.F., Moran B., Nakamura T., "Energy release rate along a three-dimensional crack front in a thermally stressed body", *International Journal of Fracture*, Vol. 30, No. 2, 1986, pp. 79-102.
- [13] Wilson W.K., Yu I.W., "The use of the J-integral in thermal stress crack problems", *International Journal of Fracture*, Vol. 15, No. 4, 1979, pp. 377-387.
- [14] Prasad N.N.V., Aliabadi M.H., Rooke D.P., "The dual boundary element method for transient thermoelastic crack problems", *International Journal Solids and Structures*, Vol. 33, No. 19, 1996, pp. 2695-2718.
- [15] Dell'Erba D.N., Aliabadi M.H., Rooke D.P., "Dual boundary element method for three-dimensional thermoelastic crack problems", *International Journal of Fracture*, Vol. 94, No. 1, 1998, pp. 89-101.
- [16] Fujimoto T., Noda N., "Crack Propagation in a Functionally Graded Plate Under Thermal Shock",